

# بررسی تجربی سینتیک پخت ناهمدمای آمیزه لاستیک SBR با اندازه‌گیری مستقیم دما و دستگاه تحلیل فرایند لاستیک

Experimental Study of Non-isothermal Curing Kinetics of SBR Compound by Direct Temperature Determination and RPA Machine

میر حمید رضا قریشی\*، غلامحسین اصغری

تهران، پژوهشگاه پلیمر و پتروشیمی ایران، پژوهشکده فرایند، گروه لاستیک، صندوق پستی ۱۴۹۶۵/۱۱۵

دریافت: ۸۴/۹/۲۹، پذیرش: ۸۵/۶/۱۴

## چکیده

در این پژوهش، سینتیک پخت آمیزه لاستیک SBR با استفاده از آزمونهای رئومتری (همدما) و اندازه‌گیری مستقیم دما به کمک دستگاه چندثباتی (ناهمدما) و دستگاه تحلیل فرایند لاستیک بررسی شد. پس از تعییه آمیزه درینبوری و آسیاب دوغلتکی با استفاده از آزمونهای رئومتری در دمای های متفاوت، مقادیر مختلف پیشرفت پخت و مشتق آن بر حسب زمان محاسبه و با استفاده از برازش غیرخطی داده‌ها به وسیله نرم‌افزار، پارامترهای سینتیکی مدل‌های مختلف محاسبه و مقدار متوسط خطای برای هر مدل معین شد. با استفاده از عوامل محاسبه شده برای مدل‌های دما و زمانهایی که به طور مستقیم به وسیله دستگاه چندثباتی از آمیزه در مرکز قالب، اندازه‌گیری شده و اعمال پروفیل دما-زمان به دستگاه تحلیل فرایند لاستیک (RPA)، مقادیر درجه پیشرفت پخت (ناهمدما) محاسبه شد، سپس به کمک روش‌های مشتق گیری و انتگرال‌گیری عددی با استفاده از شرایط اولیه مشخص، این نتیجه بدست آمد که مدل خود کاتالیزوری با نتایج دستگاه RPA توافق بسیار خوبی را نشان می‌دهد. بدین ترتیب به کمک مدل خود کاتالیزوری می‌توان تفسیر مناسبی از رفتار پخت آمیزه در شرایط همدما و ناهمدما بدست آورد.

## واژه‌های کلیدی

سینتیک پخت، مدل سینتیکی،  
شرایط همدما، شرایط ناهمدما،  
برازش غیرخطی

## مقدمه

در سالهای اخیر، مدل‌های سینتیکی مختلفی که رفتار پخت لاستیکها را به خوبی توجیه می‌کنند، گزارش شده‌اند که می‌توان به مدل‌های خودکاتالیزوری، کمال-رایان، درجه  $n$ -ام و کمال-سرور اشاره کرد [۱]. با استفاده از این مدل‌ها که بر مبنای نتایج آزمایشگاهی بدست می‌آیند، می‌توان تغییرات

مطالعه سینتیک پخت لاستیکها برای تعیین درجه پیشرفت پخت و پارامترهای مؤثر بر آن، بسیار با اهمیت است. چند روش آزمایشگاهی برای بررسی سینتیک واکنش پخت لاستیکها وجود دارد که به کمک آنها می‌توان تغییرات درجه پخت بر حسب زمان و دما را مطالعه کرد.

## Key Words

curing kinetics, kinetic model,  
isothermal conditions, non-isothermal conditios,  
non-linear fitting

\* مؤلف مسئول مکاتبات، پیام نگار: m.h.r.ghoreishy@ipm.ac.ir

شكل که با سامانه‌های کنترل کننده توزیع زمان-دما به طور عددی به دستگاه داده شده و رئومتر مقدار پیشرفت واکنش پخت را به طور مستقیم معین می‌کند.

### اساس نظری

معادله سینتیکی، رابطه‌ای است که به کمک آن می‌توان مقدار پیشرفت واکنش (یا سرعت آن) را بر حسب زمان بیان کرد. تاکنون، مدل‌های سینتیکی متفاوتی برای بیان فعل و انفعال شیمیایی پخت لاستیک ارائه شده‌اند که در جدول ۱ برخی از مهمترین آنها آورده شده است. در این معادلات دو فرض اساسی وجود دارد که عبارتند از [۲]:

۱- با توجه به این که پخت لاستیک واکنشی گرماز است، بنابراین مقدار پیشرفت واکنش پخت که با نماد  $\alpha = \alpha(t)$  نشان داده می‌شود، معادل نسبت مقدار گرمای ایجاد شده تا لحظه  $t$  به گرمای کل ایجاد شده است:

$$\alpha(t) = \frac{Q(t)}{Q_{\infty}} \quad (1)$$

که در این معادله  $Q$  کل گرمای ایجاد شده به ازای واحد حجم (یا وزن) آمیزه لاستیکی است.

۲- در تمام معادلات ثابت سرعت واکنش که تابعیت آرنیوسی با دما دارد، به شکل زیر وجود دارد:

$$k(T) = k_0 \exp(-E_a / RT) \quad (2)$$

درجه پخت و سرعت واکنش آن بر حسب زمان را به شکل ریاضی بیان کرد. از سوی دیگر، لاستیکها موادی هستند که ضریب نفوذ گرمایی بسیار کمی در مقایسه با سایر مواد دارند. این مسئله سبب می‌شود تا هنگام فرایند پخت که گرما از محیط جانبی (مثلاً دیواره‌های قالب) به آمیزه اعمال می‌شود، توزیع ناهمگنی از دما در آن بوجود آید. بنابراین، هر نقطه در قطعه لاستیکی به هنگام فرایند پخت، پروفیل دما-زمان ویژه‌ای دارد که باعث ایجاد تغییرات ناهمگن از مقدار پیشرفت واکنش پخت در آن می‌شود. به عبارت دیگر، کم بودن ضریب نفوذ گرمایی لاستیکها عاملی برای ایجاد ناهمگنی در مقدار واکنش پخت است. از آنجا که مقدار پیشرفت واکنش پخت اثر مستقیمی بر خواص فیزیکی و مکانیکی محصول دارد، بنابراین شناخت سینتیک پخت و مطالعه آن به ویژه در حالت ناهمدم اهمیت زیادی دارد. معادله سینتیک پخت لاستیکها در شرایط همدما به راحتی به کمک روش‌های رئومتری (استفاده از دستگاه رئومتر) یا گرامسانجی پویشی تفاضلی میسر است، اما به دلایل یاد شده معادلات سینتیکی حاصل از این روش باید در شرایط ناهمدم با کارگرفته شوند. به جز روش‌های تمام عددی که بحث آنها از مقوله این کار خارج است، به طور عمده دو روش برای تعیین مقدار پیشرفت واکنش پخت بکار گرفته می‌شود. روش اول براساس انتگرال‌گیری عددی مستقیم یا حل سینتیکی استوار است که به شکل انتگرال‌گیری عددی مستقیم یا حل معادله دیفرانسیل معمولی انجام می‌شود [۲]. روش دوم که فنی نسبتاً جدید است، بر رئومتری دستگاهی در شرایط ناهمدم استوار است. بدین

جدول ۱ انواع مختلف مدل‌های سینتیکی [۱-۴].

نام مدل	علامت اختصاری	مدل سینتیکی
درجہ اول	A	$k(T)(1-\alpha)$
درجہ n-ام (n-order)	B	$k(T) (1-\alpha)^n$
پیلویان(خودکاتالیزوری) [Piloyan(autocatalytic)]	C	$k(T) \alpha^m (1-\alpha)^n$
کمال-رایان (Kamal- Ryan)	D	$(k_0 + k_1 \alpha^m)(1-\alpha)^n$
کمال-سرور (Kamal- Sourour)	E	$\frac{nk(T)t^{n-1}}{(1+k(T)t^n)^2} = \frac{n}{k} t^{-1-n} \alpha^2$

با استفاده از شرایط اولیه در شرایط ناهمدما و داشتن،  $\frac{d\alpha}{dT}$  و  $\frac{d\alpha}{dt}$  می‌توان مقادیر مختلف درجه پیشرفت پخت را محاسبه کرد. هدف از کار پژوهشی حاضر، مقایسه قابلیت‌های دو روش یاد شده است که برای آمیزه لاستیک SBR انجام شده است. ابتدا با آزمونهای رئومتری (همدما) در ماهات ۱۵۰، ۱۶۰، ۱۷۰، ۱۸۰، ۱۹۰ و  $200^{\circ}\text{C}$  نمونه‌ها پخت و سپس پیشرفت واکنش پخت در ماهات مختلف بررسی شد. مقادیر مشتق درجه پیشرفت پخت نسبت به زمان در ماهات مختلف محاسبه و با استفاده از نرم افزار Mathematica با برازش غیرخطی در هر دما پارامترهای سینتیکی مدل‌های مختلف مورد استفاده در شرایط همدما محاسبه شد. با محاسبه مقدار متوسط خطابه برای هر مدل و مقایسه آنها، مدل با کمترین خطابه نسبت به داده‌های تجربی حاصل از رئومتر انتخاب شد. در مرحله بعد، به وسیله دستگاه چندثباتی (multi-recorder) به طور مستقیم دمای آمیزه در مرکز قالب استوانه‌ای اندازه‌گیری شد. با استفاده از پارامترهای هر مدل در دما و زمانهای اندازه‌گیری شده، با روش‌های عددی مقدار پیشرفت واکنش پخت برای هر مدل محاسبه شد. با اعمال تغییرات دما بر حسب زمان اندازه‌گیری شده به دستگاه RPA، تغییرات درجه پیشرفت پخت آمیزه در شرایط ناهمدما حاصل شد. با مقایسه درجه پیشرفت پخت حاصل از مدلها در شرایط ناهمدما که با استفاده از دو روش عددی بدست آمد و نتایج درجه پیشرفت پخت دستگاه RPA، مشخص شد که مدل خودکاتالیزوری در شرایط ناهمدما نیز به خوبی رفتار پخت آمیزه را بیان می‌کند. مقادیر ظرفیت گرمایی ویژه ( $C_p$ ) و ضریب رسانایی گرمایی (K) در ماهات مختلف اندازه‌گیری و با استفاده از این مقادیر تغییرات ضریب نفوذ گرمایی نمونه بررسی شد.

تجربی

مود

در این آمیزه، الاستومر SBR ۱۵۰۰ ساخت پتروشیمی بندرآمام و دوده N ۳۳۰ ساخت شرکت کربن بلاک اهواز، گوگرد ساخت ایران، شتابدهنده سولفون آیدی ساخت شرکت Bayer آلمان، فعال‌کننده روی اکسید و استئاریک اسید ساخت ایران، مواد ضدآکسید و ضدآوزون مانند TMQ ۴۰۱۰ و Vulkanox ساخت شرکت Bayer آلمان، نرم کننده پارافین و روغن آروماتیک ساخت شرکت نفت بهران و

که در این معادله  $k(T)$  ثابت سرعت واکنش پخت و وابسته به دما، عددی ثابت،  $E_a$  انرژی فعال سازی،  $T$  دما و  $R$  ثابت عمومی گازهاست. معادله (۲) میین آن است که با افزایش دما سرعت واکنش پخت افزایش می یابد (پدیده‌ای که در اغلب واکنش‌های شیمیایی مشاهده می‌شود). تعیین مقدار پیشرفت واکنش پخت ( $\alpha$ ) بر حسب زمان در حالت ثابت بودن دما کاری نسبتاً ساده است، اما در شرایطی که دما ثابت نیست و در طول زمان تغییر می‌کند، تعیین  $\alpha$  چندان آسان نخواهد بود. در شرایط پخت همدما، تانر (Tanner) و مک‌کالوم (Mac Callum) معادله زیر را اشتباه کردند [۳]:

$$\frac{d\alpha}{dt} = k(T)f(\alpha) \quad (\text{3})$$

آنها فرایند بخت ناهمدما را به شکل تابعی از دما و زمان بیان کرده‌اند:

$$\alpha = f(t, T) \quad (\text{¶})$$

سیار

$$d\alpha = \left(\frac{\partial \alpha}{\partial t}\right)_T dt + \left(\frac{\partial \alpha}{\partial T}\right)_t dT \quad (8)$$

$$\frac{d\alpha}{dt} = \left(\frac{\partial \alpha}{\partial t}\right)_T + \left(\frac{\partial \alpha}{\partial T}\right)_t \frac{dT}{dt} \quad (8)$$

که  $\tau$  مربوط به بخش همدم و  $\frac{\partial \alpha}{\partial T}$  مربوط به بخش ناهمدم است.

سه روش حل عددی با استفاده از معادله سینتیکی به شکل زیر تعریف مم شود [۳] :

روش انتگرال‌گیری معین (روش I):

$$\int_0^{\alpha_i} 1/k(T) f(\alpha) d\alpha = \int_0^{t_i} dt$$

## روش مشتق گیری عددی (روش II):

$$\alpha_i = \alpha_{i-1} + k(T_{i-1}) f(\alpha_{i-1}) \Delta t \quad (4)$$

با انتگرالگیری عددی، از معادله (۶) می‌توان نوشت (روش III):

$$\alpha_i = \alpha_{i-1} + \int_{t_{i-1}}^{t_i} \frac{d\alpha}{dt} dt + \int_{T_{i-1}}^{T_i} \left( \frac{d\alpha}{dT} \right)_t dT \quad (4)$$

### آزمون رئومتری

آزمون، طبق استاندارد ASTM D2084 در دماهای ۱۵۰، ۱۶۰، ۱۷۰، ۱۸۰ و ۱۹۰°C و ۲۰۰°C انجام و تغییرات گشتاور آمیزه در دماهای مختلف نسبت به زمان اندازه‌گیری شد. حجم نمونه برای هر آزمون ۹ cm<sup>3</sup> بوده و حرکات نوسانی - چرخشی صفحه با بسامد ۱/۷ Hz در یک زاویه رفت و برگشت ±۱ درجه با رواداری (tolerance) ۰/۰۳٪ انجام شده است.

### اندازه‌گیری مستقیم دما

بادستگاه چندثباتی تغییرات دمای قالب تا ۱۹۰°C اندازه‌گیری و در مرحله بعد دمای آمیزه در مرکز قالب استوانه‌ای با قطر ۵۰ mm و ضخامت ۱۵ mm که در فشار ۱۵۰ kg/cm<sup>3</sup> در حال گرمادهی است، به وسیله دستگاه چند ثباتی تا دمای ۱۹۰°C هر دو ثانیه یک بار اندازه‌گیری و در حافظه دستگاه ذخیره شد.

### دستگاه RPA

تغییرات دما-زمان به عنوان ورودی به برنامه دستگاه RPA داده شد. تغییرات گشتاور آمیزه بر حسب زمان و دما اندازه‌گیری شد و تنشهای چرخه‌ای-نوسانی، در بسامد ۱/۶۷ Hz و کرنش ۷ درصد به نمونه اعمال شد.

### آزمون گرماسنجی پویشی تقاضی

آزمون گرماسنجی پویشی تقاضی (DSC) برای اندازه‌گیری ظرفیت گرمایی ویژه برای نمونه خام به وزن ۹ mg با سرعت گرمادهی ۲۰°C cm<sup>2</sup> در دمای ۲۵۰°C در گاز نیتروژن انجام شد.

**آزمون اندازه‌گیری چگالی و ضریب رسانندگی گرمایی**  
چگالی، طبق استاندارد D 1550 ASTM اندازه‌گیری شد. ضریب رسانندگی گرمایی (K) طبق استاندارد C177-85 ASTM با استفاده از ورقه لاستیکی پخت شده با ابعاد استاندارد ۲۰ × ۲۰ cm<sup>2</sup> و ضخامت ۱ cm در دماهای ۱۰، ۲۰، ۳۰، ۴۰، ۵۰ و ۶۰°C در فشار ۴۸ N/m<sup>2</sup> انجام شد.

### نتایج و بحث

آزمون رئومتری یکی از معمولترین روش‌های بررسی سینتیک پخت الاستومرها و محاسبه درجه پیشرفت پخت ( $\alpha$ ) است. درجه پیشرفت پخت به شکل زیر تعریف می‌شود [۱]:

### جدول ۲ فرمولیندی آمیزه لاستیک SBR

اجزا	مقدار (phr)
SBR ۱۵۰۰	۱۰۰
روی اکسید	۳
N ۳۳۰	۶۰
روغن آروماتیک	۳
Rosin	۴
استئاریک اسید	۲
نرم‌کننده پارافین	۱
Vulkanox ۴۰۱۰	۱/۵
TMQ	۱
CBS	۱/۴
گوگرد	۱/۹
PVI	۰/۱

تا خیرانداز PVI شرکت راین شیمی آلمان استفاده شده است (جدول ۲).

### دستگاه‌ها

در این پژوهش، بنوری آزمایشگاهی Farrel ساخت کشور انگلستان، آسیاب دوغلتکی آزمایشگاهی Polymix ۲۰۰ L Schwabenthan ساخت آلمان مدل Davenport Zwick ۴۳۰۸ ساخت کشور آلمان، پرس ۲۵ تنی Yokogawa ساخت کشور انگلستان، دستگاه چندثباتی شرکت Alpha technology RPA مدل DR-۱۲۰ ساخت ژاپن، دستگاه چندثباتی Polymer Laboratory از DSC از آلمان، دستگاه Taurus مدل TCA-۲۰۰ ساخت آلمان اندازه‌گیری ضریب رسانایی گرمایی بکار گرفته شده است.

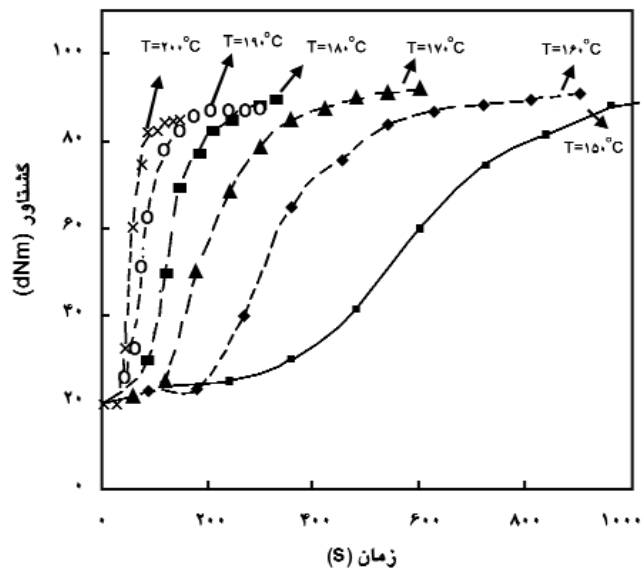
### روشها

#### تهییه آمیزه

برای تهییه آمیزه تمام اجزای آن به جز سامانه پخت به درون محفظه دستگاه بنوری منتقل و اختلاط در محدوده دمایی ۲۵°C تا ۱۰۰°C و با سرعت تیغه چرخنده ۴۰ rpm به مدت ۷ min انجام شد، سپس به مدت ۵ min با استفاده از آسیاب دوغلتکی در محدوده ۲۵°C تا ۶۰°C سامانه پخت به آمیزه افزوده و اختلاط به طور کامل انجام شد.

جدول ۳ مشخصه‌های پخت آمیزه در دماهای مختلف از منحنیهای رئومتری.

دما (°C)	گشتاور بیشینه (Nm)	گشتاور کمینه (Nm)	زمان پخت (s)	زمان نهفته‌گی (s)
۱۵۰	۰/۳۲۵	۰/۰۸۴	۱۲۰۰	۳۰۶
۱۶۰	۰/۳۱۶	۰/۰۷۹	۹۰۰	۱۷۷
۱۷۰	۰/۳۲۳	۰/۰۷۵	۷۶۷/۵۸	۱۰۳
۱۸۰	۰/۳۱۷	۰/۰۷۲	۴۰۴/۴۶	۶۶
۱۹۰	۰/۳۰۷	۰/۰۷۱۴	۲۴۷/۹۲	۴۲/۶۶
۲۰۰	۰/۲۹۹	۰/۰۶۸۸	۱۳۴/۲۸	۳۰



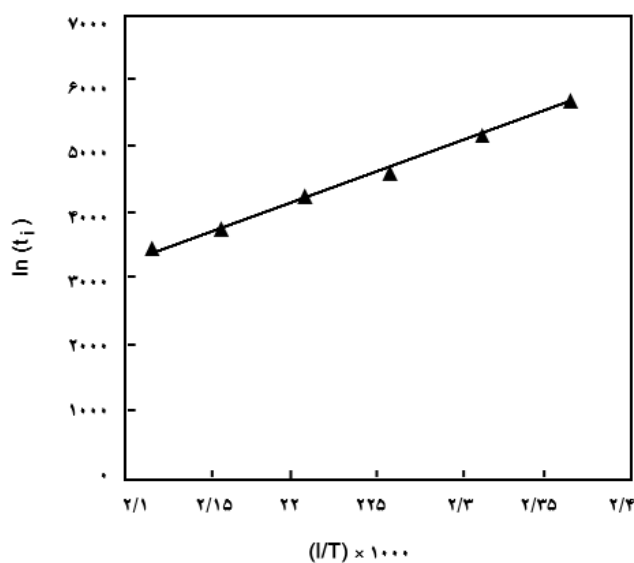
شکل ۱ نمودار گشتاور نسبت به زمان با استفاده از منحنیهای رئومتری در دماهای مختلف.

$$\frac{d\alpha}{dt} = \frac{\alpha_{i+1} - \alpha_i}{\Delta t} \quad (11)$$

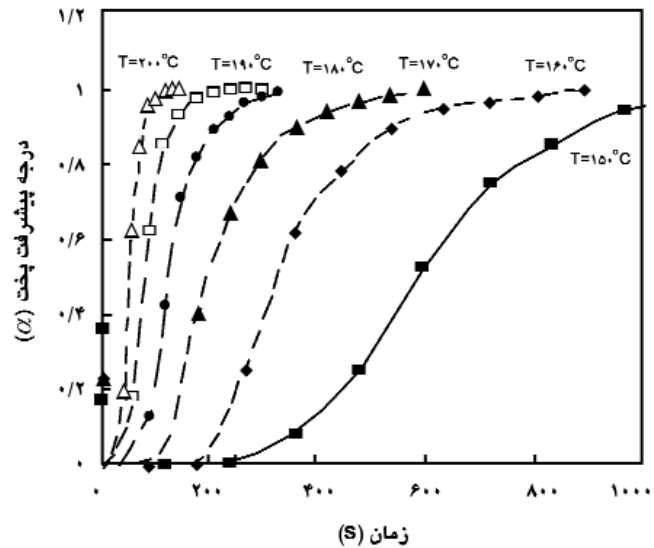
شکل ۱ منحنیهای رئومتری را در دماهای مختلف نشان می‌دهد. در شکل ۱ مشاهده می‌شود که با شروع گرمادهی، گشتاور به دلیل کاهش گرانروی آمیزه به مقداری کمینه کاهش یافته است. به عبارت دیگر، گرانروی آمیزه در دمای محیط بیشتر از دمای پخت است. گشتاور بیشینه

$$\alpha(t) = \frac{F_t - F_0}{F_\infty - F_0} \quad (10)$$

در این معادله،  $F_t$  گشتاور لحظه‌ای،  $F_\infty$  گشتاور بیشینه و  $F_0$  گشتاور کمینه است. برای تعیین سرعت واکنش پخت، می‌توان با استفاده از تعریف مشتق نوشت:



شکل ۳ نمودار تغییرات  $\ln(t_i)$  نسبت به  $1/T$  از منحنیهای رئومتری.



شکل ۲ نمودار درجه پیشرفت پخت بر حسب زمان پخت با استفاده از منحنیهای رئومتری در دماهای مختلف.

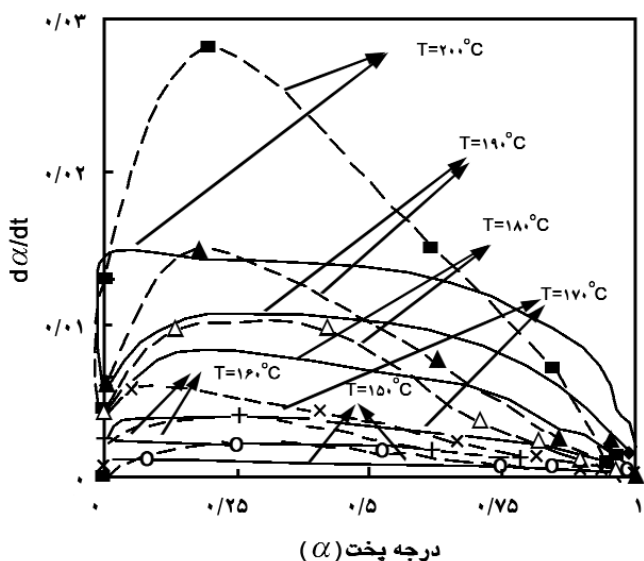
جدول ۴ پارامترهای سینتیکی رفتار پخت همدماهی آمیزه با استفاده از مدل خودکاتالیزوری.

$k(T) \times 10^{-3}$	n	m	دماه آزمون (°C)
۷	۱/۲۳	۰/۵۶	۱۵۰
۹	۱/۴۰۵	۰/۲۶	۱۶۰
۱۲	۱/۴۱	۰/۲۵	۱۷۰
۱۷	۱/۴۸	۰/۲۷۴	۱۸۰
۲۵	۱/۳۷	۰/۱۷۵	۱۹۰
۳۰	۱/۴	۰/۲۵	۲۰۰

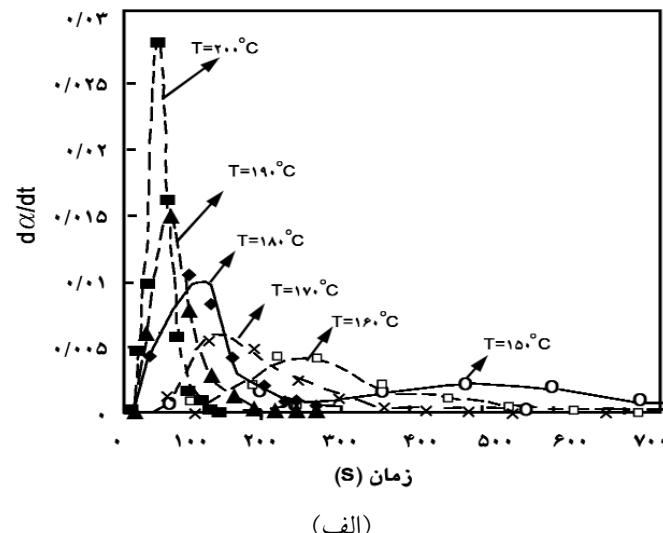
$$t_i = t_o \exp\left(\frac{T_o}{T}\right) \quad (12)$$

$$\ln(t_i) = \ln t_o + \frac{T_o}{T} \quad (13)$$

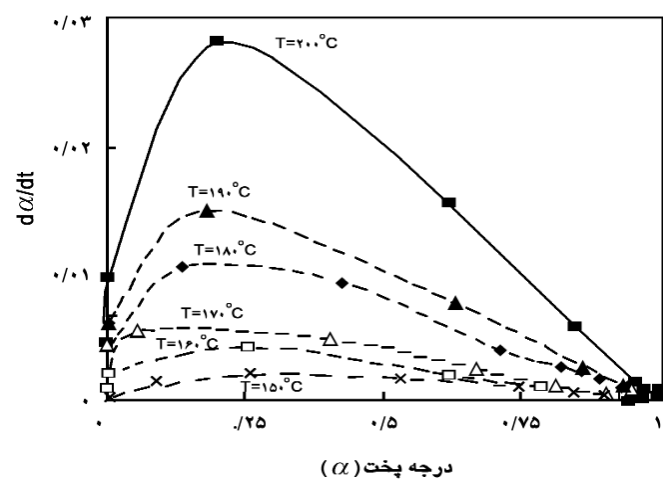
در این معادله  $t_0$  و  $T_0$  ثوابتی هستند که مقدار آنها برای هر آمیزه از طریق انجام آزمون رئومتری در دماهای مختلف معین می‌شوند. با استفاده از مقادیر مختلف زمان نهفتگی در هر دما و ترسیم مقادیر  $\ln(t_i)$  و با استفاده از شیب خط مبدأ  $T_0 = ۹۳۱۸ \times 10^{-8}$  و عرض از مبدأ  $t_0 = ۷/۹۳$  محاسبه شد. در



شکل ۵ نمودار  $\frac{d\alpha}{dt}$  نسبت به درجه پخت مدل واکنش درجه n-ام: (-) مدل و (--) داده‌های رئومتری.



(الف)



(ب)

شکل ۶ نمودار  $\frac{d\alpha}{dt}$  مدل خودکاتالیزوری در دماهای مختلف: (الف) زمان و (ب) درجه پیشرفت پخت.

با افزایش دما پخت کاهش و به دلیل افزایش سرعت پخت با افزایش دما، زمان نهفتگی و زمان پخت آمیزه کاهش می‌یابد.

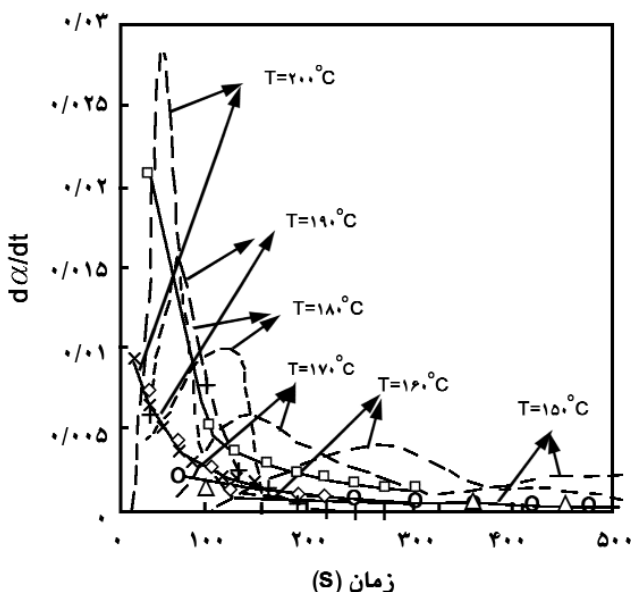
شکل ۲ تغییرات درجه پیشرفت پخت را بر حسب زمان نشان می‌دهد که با افزایش دما، زمان تکمیل واکنش پخت آمیزه و زمان نهفتگی کاهش یافته و سرعت واکنش پخت افزایش می‌یابد. در جدول ۳ مشخصه‌های پخت آمیزه در دماهای مختلف نشان داده شده است.

زمان نهفتگی در شرایط همدما در معادله (۱۲) و شکل لگاریتمی آن در معادله (۱۳) بیان شده است [۳]:

جدول ۶ پارامترهای سینتیکی رفتار پخت همدما با استفاده از مدل کمال-رایان.

$k_0 \times 10^{-7}$	$k_i(T) \times 10^{-3}$	n	m	دما آزمون (°C)
۱	۶	۱/۲۶	۰/۶	۱۵۰
۱/۵	۱	۱/۳۰	۰/۶۳	۱۶۰
۲/۲۸	۷	۱/۱۳	۰/۷۱	۱۷۰
۳/۵۵	۳۲	۱/۵	۰/۷۰	۱۸۰
۵/۶۹	۳۶	۱/۱۰	۰/۳۸۶۷	۱۹۰
۷/۸	۳۷/۲	۱/۲	۰/۴۱۲	۲۰۰

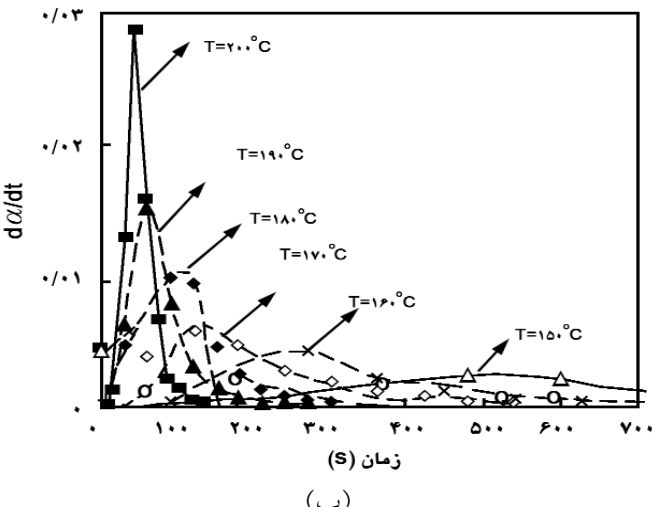
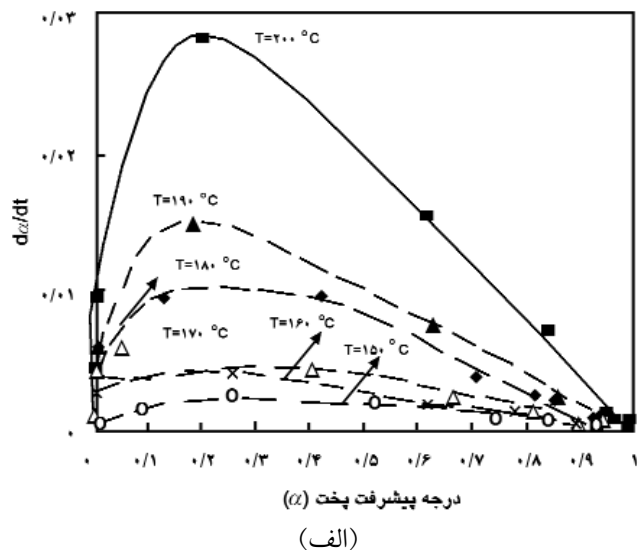
این معادله دما بر حسب کلوین است. شکل ۳ تغییرات  $\ln(t_i)$  را نسبت به  $1/T$  نشان می‌دهد. با استفاده از منحنیهای رئومتر و مقادیر تجربی درصد پخت ( $\alpha$ ) و مقادیر  $\frac{d\alpha}{dt}$  محاسبه شده در هر دما و با برازش غیرخطی به وسیله نرم افزار Mathematica، پارامترهای سینتیکی مدل خودکاتالیزوری بدست آمد. تغییرات  $\frac{d\alpha}{dt}$  نسبت به پیشرفت پخت و زمان برای مدل خودکاتالیزوری به طور همزمان با نتایج تجربی حاصل از رئومتر در شکل ۴ ترسیم و میانگین خط  $7/5 \times 10^{-7}$  محاسبه شده است [۱].



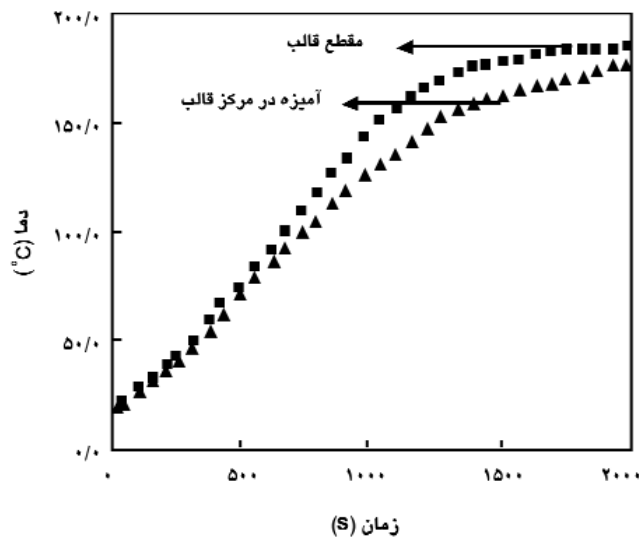
شکل ۷ نمودار  $\frac{d\alpha}{dt}$  نسبت به زمان برای مدل تجربی کمال-سرور: (—) داده‌های تجربی و (—) حاصل از مدل.

جدول ۵ پارامترهای سینتیکی پخت همدما آمیزه با استفاده از مدل واکنش درجه n-ام.

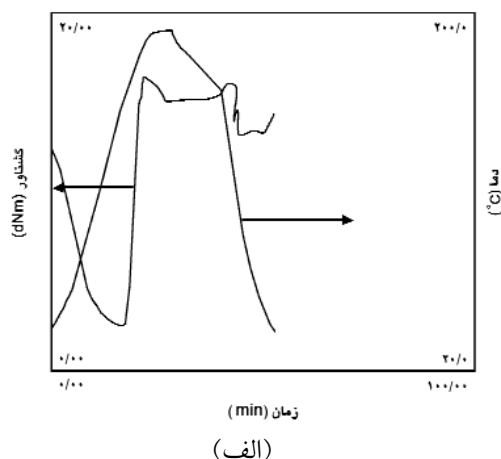
$k(T) \times 10^{-3}$	n	دما آزمون (°C)
۱	۰/۲۵۳	۱۵۰
۲	۰/۴۶	۱۶۰
۳/۸	۰/۵۳	۱۷۰
۸	۰/۶۰	۱۸۰
۱۰	۰/۵۸	۱۹۰
۱۲/۳	۰/۵۲	۲۰۰



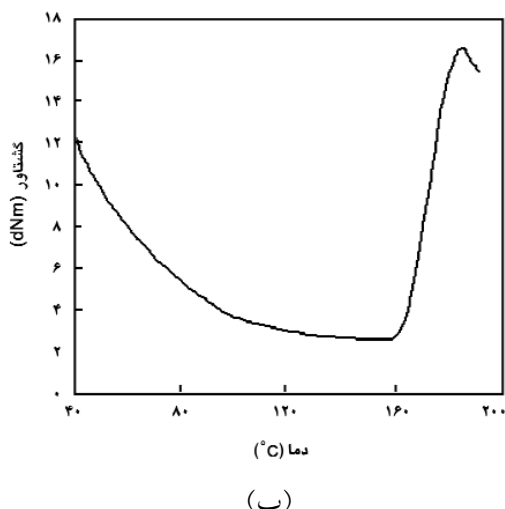
شکل ۶ نمودار تغییرات  $\frac{d\alpha}{dt}$  برای مدل کمال-رایان در دمای مختلف نسبت به: (الف) درجه پیشرفت پخت و (ب) زمان.



شکل ۹ نمودار دما نسبت به زمان سطح قالب و آمیزه در مرکز قالب.



(الف)



(ب)

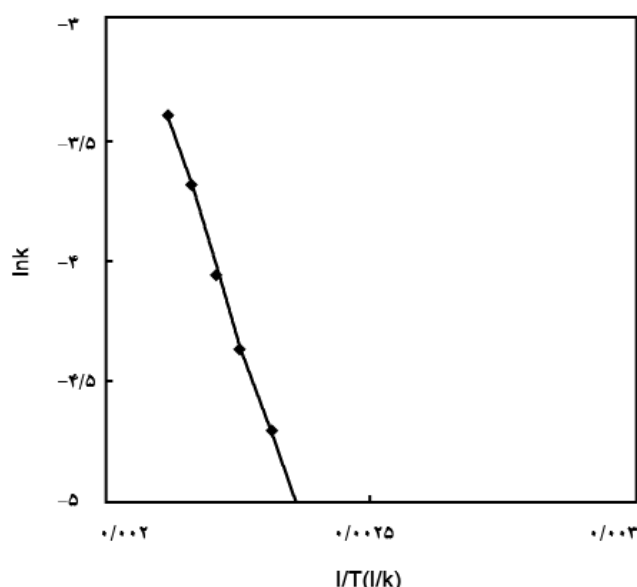
شکل ۱۰ نمودار گشتاور حاصل از دستگاه RPA نسبت به: (الف) زمان و (ب) دما.

جدول ۷ مقادیر پارامترهای  $n$  و  $k$  در دماهای مختلف برای مدل کمال-سورو.

$k(T) \times 10^{-3}$	$n$	دما آزمون (°C)
۱	۰/۲۵	۱۵۰
۲	۰/۴۶	۱۶۰
۳	۰/۵۳	۱۷۰
۸	۰/۶۰	۱۸۰
۱۰	۰/۵۷	۱۹۰
۱۲/۴	۰/۵۵	۲۰۰

از منحنیهای شکل ۴(الف) و (ب) نتیجه می‌شود که مدل خودکاتالیزوری با تقریب خوبی از داده‌های تجربی عبور می‌کند. بیشترین سرعت پخت زمانی است که تغییرات  $\frac{d\alpha}{dt}$  برابر صفر شود که به آن  $CR_{max}$  گفته می‌شود.  $CR_{max}$  با افزایش دما افزایش می‌یابد [۵]. مقادیر  $n$  و  $k$  در دماهای مختلف برای مدل خودکاتالیزوری در جدول ۴ درج شده است. از جدول ۴ نتیجه می‌شود که مقادیر ثابت سرعت واکنش پخت با افزایش دما افزایش می‌یابد که به دلیل وابستگی آرنیویسی آن به دما است. مدل درجه  $n$ -ام، بیان کننده رفتار سینتیک پخت برخی از آمیزه‌های لاستیکی است [۷].

شکل ۵ مقایسه داده‌های حاصل از رئومتر و مدل درجه  $n$ -ام را نشان



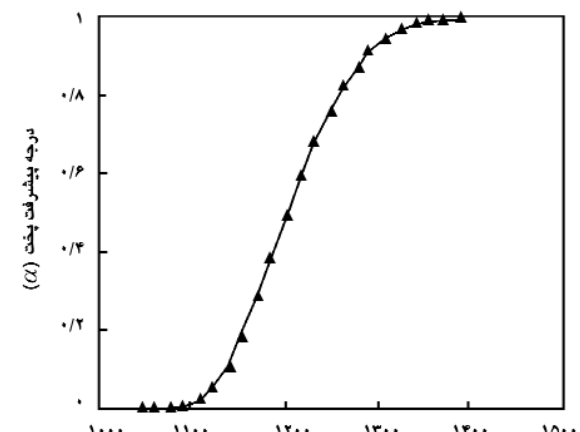
شکل ۸ نمودار  $\ln k(T)$  نسبت به  $l/T(l/k)$  از نتایج مدل خودکاتالیزوری.

می‌دهد. همان طور که در شکل ۵ دیده می‌شود، مدل درجه n-ام نتوانسته رفتار پخت آمیزه را بیان کند و میانگین خط  $10^{-3} \times 1/15$  است که نسبت به میانگین خطای محاسبه شده به روش خودکاتالیزوری بزرگتر است. مقادیر پارامترهای n و k در دماهای مختلف برای این مدل در جدول ۵ درج شده است. مدل درجه n-ام از نقاط تحریبی حاصل از رئومتری عبور نکرده و نمی‌تواند رفتار پخت همدماهی آمیزه را بررسی کند. ثابت سرعت واکنش پخت با افزایش دما افزایش یافته است. مدل کمال-رایان در سال ۱۹۷۳ ارائه شد. شکل ۶ تغییرات  $\frac{d\alpha}{dt}$  نسبت به درجه پیشرفت پخت و زمان را برای این مدل نشان می‌دهد. همان طور که ملاحظه می‌شود میانگین خط  $10^{-7} \times 8$  است. مقادیر پارامترهای m و n مدل کمال-رایان در جدول ۶ درج شده است.

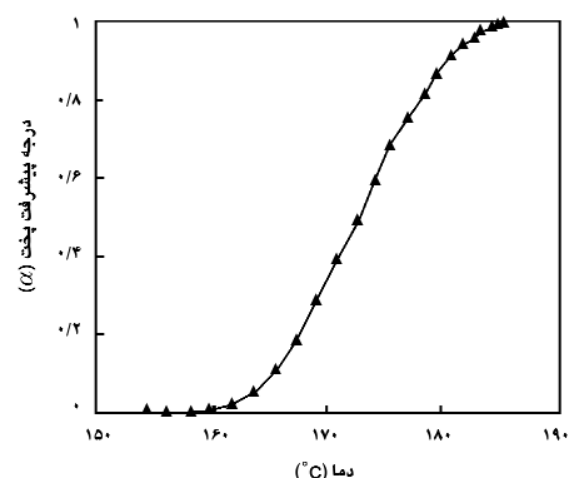
مقادیر n،  $10^{-3} \times k_1(T)$  و  $k_0$  با افزایش دما افزایش و مقدار پارامتر m ثابت است. در مدل کمال-سرور پارامترهای n و k در دماهای مختلف در جدول ۷ درج شده است. شکل ۷ تغییرات  $\frac{d\alpha}{dt}$  نسبت به زمان را برای این مدل نشان می‌دهد.

با استفاده از جدول ۷ نتیجه می‌شود، مقادیر n و ثابت سرعت پخت با افزایش دما افزایش می‌یابد که نشانگر افزایش سرعت پخت با افزایش دماست. میانگین خط  $10^{-2} \times 2/5$  محاسبه شده است. از شکل ۶ مشاهده می‌شود، مدل کمال-سرور از نقاط تحریبی حاصل از رئومتری عبور نکرده و نمی‌تواند رفتار پخت همدماهی آمیزه را بیان کند [۳]. انرژی فعال سازی آمیزه با استفاده از معادله (۲) با ترسیم  $\ln k(T)$  نسبت به  $1/T$ ، شیب خط معادل انرژی فعال سازی  $K$  و عرض از مبدأ خط  $10^{-6} \times 1/98$  محاسبه شد. شکل ۸ تغییرات  $\ln k(T)$  نسبت به  $1/T$  را با استفاده از نتایج مدل خودکاتالیزوری در دماهای مختلف نشان می‌دهد.

منحنی تغییرات دما نسبت به زمان سطح قالب و آمیزه در مرکز قالب با استفاده از دستگاه چندثباتی در شکل ۹ نشان داده شده است.



(الف)

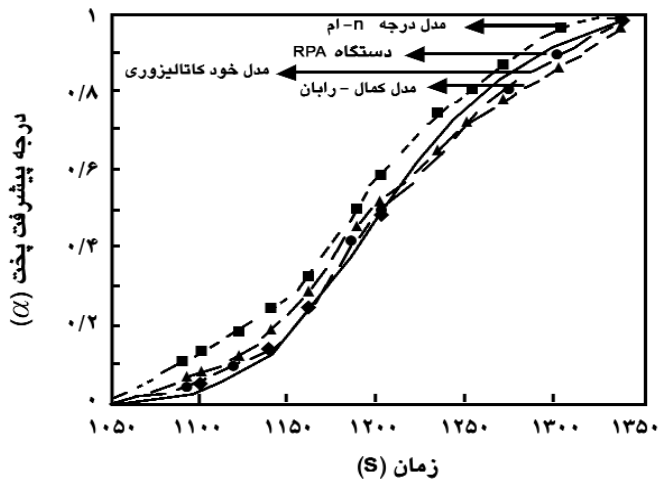


(ب)

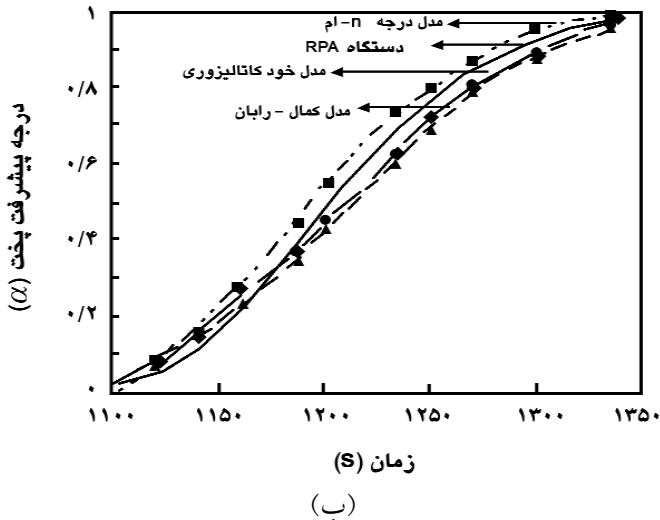
شکل ۱۱ نمودار درجه پیشرفت پخت با استفاده از داده‌های RPA نسبت به: (الف) زمان و (ب) دما.

جدول ۸ شکل روابط عددی مدل‌های خودکاتالیزوری، کمال-رایان و درجه n-ام.

مدل	روش	III	II	I
خودکاتالیزوری	$\int_{t_{i-1}}^{t_i} k \alpha_{i-1}^m (1-\alpha_{i-1})^n dt + \int_{T_{i-1}}^{T_i} \left(\frac{d\alpha}{dT}\right)_i dT$	$\alpha_i = \alpha_{i-1} + k(T_{i-1}) \alpha_{i-1}^m (1-\alpha_{i-1})^n \Delta t$	$\int_0^{t_i} 1/(\alpha^m (1-\alpha^n)) d\alpha = \int_0^{t_i} k dt = kt_i$	
کمال-رایان	$\int_{t_{i-1}}^{t_i} (k_o + k_1 \alpha_{i-1}^m) (1-\alpha_{i-1})^n dt + \int_{T_{i-1}}^{T_i} \left(\frac{d\alpha}{dT}\right)_i dT$	$\alpha_i = \alpha_{i-1} + (k_o + k_1 \alpha_{i-1}^m) (1-\alpha_{i-1})^n \Delta t$	$\int_0^{t_i} 1/(k_o + k_1 \alpha^m) (1-\alpha^n) d\alpha = \int_0^{t_i} dt = t_i$	
درجه n-ام	$\int_{t_{i-1}}^{t_i} k (1-\alpha_{i-1})^n dt + \int_{T_{i-1}}^{T_i} \left(\frac{d\alpha}{dT}\right)_i dT$	$\alpha_i = \alpha_{i-1} + k (1-\alpha_{i-1})^n \Delta t$	$\int_0^{t_i} 1/(1-\alpha)^n d\alpha = \int_0^{t_i} k dt = kt_i$	



(الف)

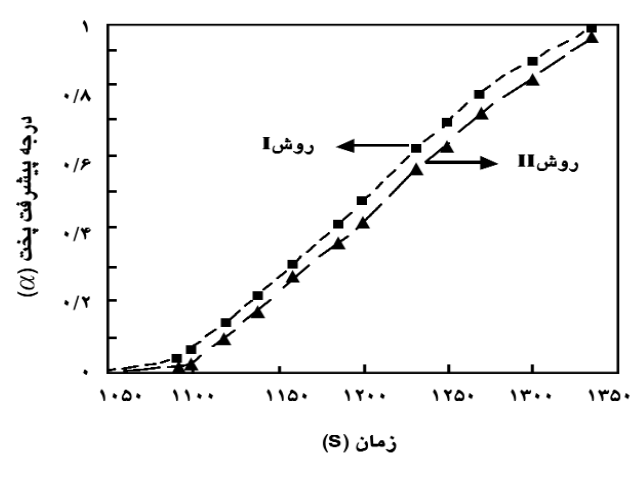


(ب)

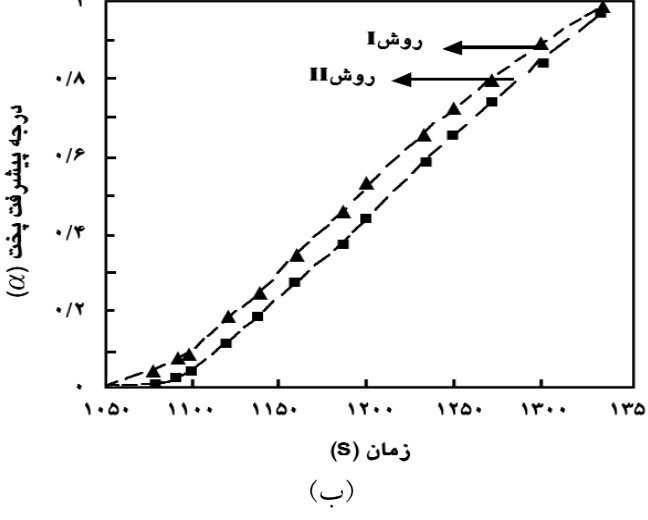
شکل ۱۳ تغییرات درجه پیشرفت پخت بر حسب زمان برای سه مدل خود کاتالیزوری، کمال-رایان و درجه n-Am به همراه منحنی حاصل از نتایج دستگاه RPA با روش I و (ب) II.

با توجه به شکل ۹ پروفیل دمای قالب و آمیزه در مرکز قالب کاملاً غیریکنواخت و ناهمدماست [۴]. با اعمال پروفیل دما-زمان اندازه‌گیری شده در مرکز قالب به دستگاه RPA، منحنیهای تغییرات گشتاور نسبت به دما و زمان پخت، شکل ۱۰ حاصل شد و در نتیجه تغییرات درجه پیشرفت پخت نسبت به دما و زمان به صورت نمودارهای شکل ۱۱ بدست آمد.

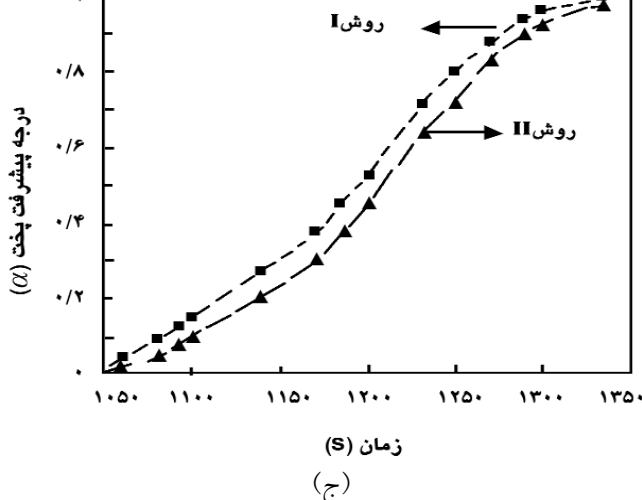
با استفاده از شکلهای ۱۰ و ۱۱ نتیجه می‌شود که تا دمای ۱۵۴°C و زمان ۱۰۴۵ s کاهش گشتاور درآمیزه رخ می‌دهد که ناشی از کاهش گرانوی آمیزه است. زمان و دمای نهفته‌گی ۱۰۴۵ s و ۱۵۴°C است که پس از آن آمیزه



(الف)



(ب)



(ج)

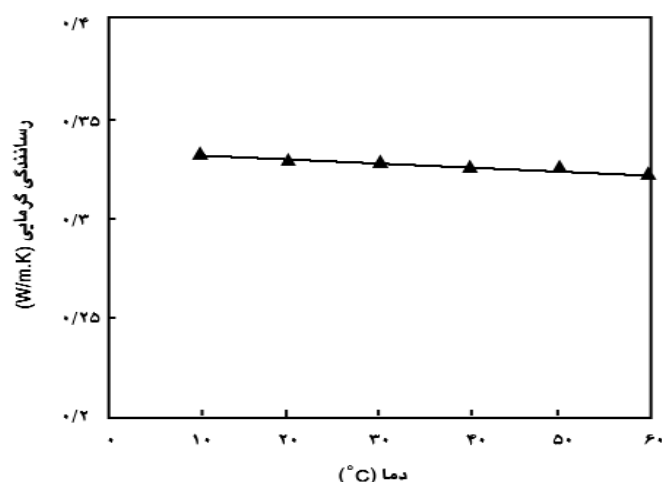
شکل ۱۲ نمودار درجه پخت نسبت به زمان برای مدل‌های: (الف) خود کاتالیزوری، (ب) کمال-رایان و (ج) درجه n-Am.

جدول ۹ مقادیر مختلف ضریب رسانندگی گرمایی در دماهای مختلف.

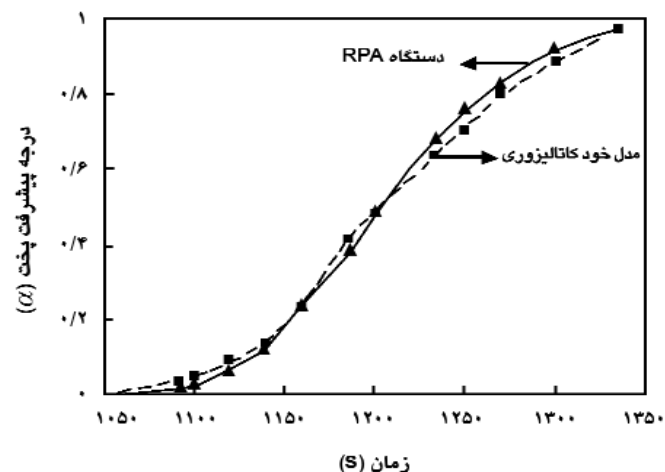
ضریب رسانندگی گرمایی ( $W/mK$ )	دما ( $^{\circ}C$ )
۰/۳۳۲۱	۱۰
۰/۳۲۹۵	۲۰
۰/۳۲۸۱	۳۰
۰/۳۲۶۵	۴۰
۰/۳۲۴۶	۵۰
۰/۳۲۲۰	۶۰

مدلهای خودکاتالیزوری، کمال-رایان و درجه-n ام را با استفاده از سه روش یاد شده نشان می‌دهد.

تغییرات درجه پیشرفت پخت نسبت به زمان مدل خودکاتالیزوری، کمال-رایان و درجه-n ام در شکل ۱۲ نشان داده شده که متوسط خطاباً دو روش(I) و (II) برای هر مدل به ترتیب برابر  $6/5 \times 10^{-2}$ ،  $5/5 \times 10^{-2}$  و  $9/5 \times 10^{-2}$  است. از معادله مدل درجه-n ام می‌توان به طور مستقل درجه پیشرفت پخت ( $\alpha$ ) را برحسب زمان و ثابت سرعت واکنش نوشت و به همین دلیل،  $(\frac{d\alpha}{dT})$  قابل تعیین است. با توجه به اینکه از مدل خودکاتالیزوری و کمال-رایان نمی‌توان به طور مستقل درجه پیشرفت پخت ( $\alpha$ ) را برحسب زمان و ثابت سرعت واکنش نوشت، به همین علت،  $(\frac{d\alpha}{dT})$  قابل تعیین نیست و از روش III برای اندازه‌گیری درصد پخت نسبت به زمان استفاده نمی‌شود. در شکل ۱۳ (الف) و (ب)

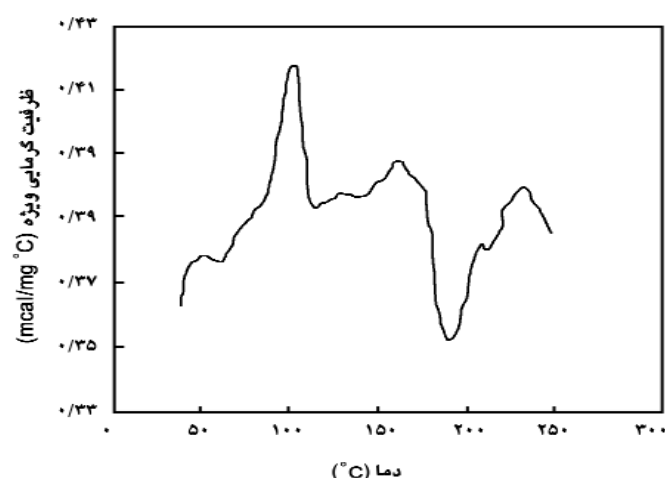


شکل ۱۶ نمودار تغییرات ضریب رسانندگی گرمایی بر حسب دما.



شکل ۱۴ رسم همزمان درجه پخت نسبت به زمان با استفاده از مدل خودکاتالیزوری (روش I) و نتایج حاصل از دستگاه RPA.

شروع به پخت کرده، گشتاور با افزایید دما افزایش می‌یابد. در زمان ۱۳۳۵ s دمای  $185^{\circ}C$  گشتاور بیشترین مقدار می‌شود که نشان دهنده تکمیل واکنش پخت است. در دمای بیشتر از  $185^{\circ}C$  کاهش گشتاور به دلیل تخریب زنجیر یا اتصالات گوگردی رخ می‌دهد. برای محاسبه درجه پیشرفت پخت با استفاده از داده‌های دستگاه چندثباتی روشهای مختلفی وجود دارد که عبارتند از [۳]: انتگرال‌گیری معین (روش I)، مشتق‌گیری عددی (روش II) و انتگرال‌گیری معین از معادله (۶) (روش III) و شرایط اولیه  $t_0 = 2s$ ،  $\alpha_0 = 1 \times 10^{-5}$  و  $\Delta t = t_i - t_{i-1}$  است. جدول ۸ شکل ۱۳ روابط عددی

شکل ۱۵ نمودار تغییرات ظرفیت گرمایی ویژه آمیزه خام (Cp) در سرعت گرمادهی  $20^{\circ}C/min$ .

## جدول ۱۰ مقادیر ضریب نفوذ گرمایی، ظرفیت گرمایی ویژه، ضریب رسانندگی گرمایی و دما آمیزه خام.

دما (°C)	ضریب رسانندگی گرمایی (W/m.K)	ظرفیت گرمایی ویژه (mcal/mg.°C)	ضریب نفوذ گرمایی ( $m^2/s \times 10^{-7}$ )
۶۰	۰/۳۲۲۱	۰/۳۶۸۶	۱/۷۹
۸۰	۰/۳۱۸۱	۰/۳۸۰۳	۱/۷۲
۱۰۲	۰/۳۱۳۷	۰/۴۱۹	۱/۵۳۸
۱۱۳	۰/۳۱۱۵	۰/۳۸۳۱	۱/۶۷
۱۶۲	۰/۳۰۱۷	۰/۳۹۴۶	۱/۵۷
۱۹۱	۰/۲۹۵۹	۰/۳۴۷۹	۱/۷۴
۲۱۲	۰/۲۹۱۷	۰/۳۷۱۳	۱/۶۱
۲۳۳	۰/۲۸۷۵	۰/۳۸۸۲	۱/۵۲

زمان نهفتگی در شرایط ناهمدمای از معادله زیر بدست می‌آید:

$$t_i = \int_0^t \frac{dt}{t_i(T)} = 1 \quad (15)$$

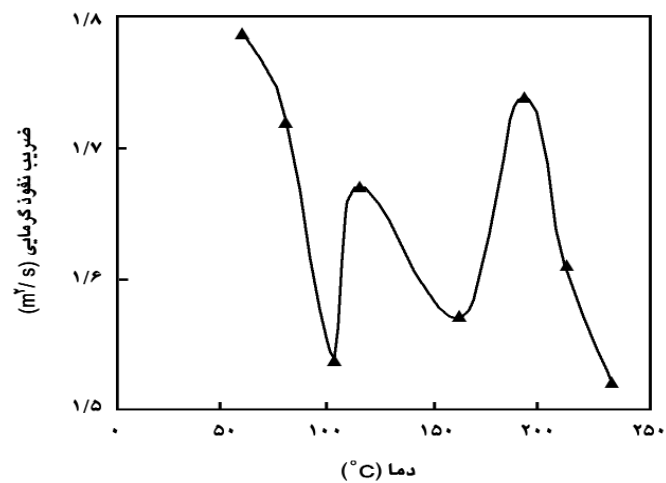
زمان نهفتگی ناهمدمای زمان  $t$  است که در آن  $t_i$  برابر یک می‌شود. با جای گذاری معادله (۱۵) در معادله (۱۶) و انتگرال گیری، مقدار  $t = 1065\text{ s}$  محاسبه شد که برابر زمان نهفتگی در آزمون RPA است. زیرا، برای بدست آوردن معادله (۱۴) ضرایب با استفاده از برازش خطی محاسبه شده‌اند، خطای در محاسبات وارد شده که با نتایج تجربی ناهمدمای حاصل از دستگاه RPA اختلاف اندکی مشاهده می‌شود. منحنی تغییرات ظرفیت گرمایی ویژه ( $C_p$ ) نسبت به دما با استفاده از آزمون DSC برای نمونه خام در شکل ۱۵ نشان داده شده است. ظرفیت گرمایی ویژه آمیزه با دما به طور غیرخطی تغییر کرده و با افزایش دما افزایش یافته و در محدوده دمایی  $50\text{ }^{\circ}\text{C}$  و اکنش گرمائی به دلیل تبخیر رطوبت یا ذوب گوگرد رخ داده است و چون جذب گرمای بیشتر شده، بنابراین مقدار  $C_p$  افزایش یافته است و در محدوده دمایی  $150\text{ }^{\circ}\text{C}$  تا  $200\text{ }^{\circ}\text{C}$  واکنش گرمای (پخت) رخ می‌دهد و به دلیل جذب گرمای کمتر، مقدار  $C_p$  کاهش یافته است. ضریب رسانندگی گرمایی آمیزه نیز در دمایهای  $10\text{, }20\text{, }30\text{, }40\text{, }50\text{, }60\text{ }^{\circ}\text{C}$  محاسبه و در جدول ۹ نشان داده شده است. با استفاده از برازش خطی این نتایج بر حسب دما، معادله خط گذرنده و مقدار مجدد رخطا محاسبه شد [۹].

شکل ۱۶ تغییرات ضریب رسانندگی گرمایی را بر حسب دما نشان می‌دهد. معادله خط و مقدار مجدد رخطا به شکل زیر است:

$$k = -2 \times 10^{-4} T + 33/41 \times 10^{-2} \quad (16)$$

تغییرات درجه پیشرفت پخت بر حسب زمان برای سه مدل خودکاتالیزوری، کمال-رایان و درجه n-ام به همراه منحنی حاصل از نتایج دستگاه RPA به ترتیب برای دروش I و II نشان داده شده است. شکل ۱۶ رسم همزمان مدل خودکاتالیزوری و نتایج RPA است که نشان می‌دهد مدل خودکاتالیزوری به نتایج حاصل از دستگاه RPA نزدیک است و مدل توافق خوبی با نتایج تجربی دارد. زمان نهفتگی همدمای، طبق معادله (۱۶) محاسبه شد [۶]:

$$t_i = 7/93 \times 10^{-8} \exp(9318/T) \quad (14)$$



شکل ۱۷ نمودار تغییرات ضریب نفوذ پذیری گرمایی آمیزه با دما.

رسانندگی گرمایی و واکنش گرمایی پخت (کاهش ظرفیت گرمایی ویژه) مقدار آن افزایش می‌یابد. در دماهای بیشتر از دمای پخت، مقدار ضریب رسانندگی گرمایی کاهش و مقدار ظرفیت گرمایی ویژه به دلیل اتصالات عرضی ایجاد شده در لاستیک، افزایش یافته، در نتیجه مقدار ضریب نفوذپذیری گرمایی کاهش قابل ملاحظه‌ای می‌یابد. این تغییرات ضریب نفوذپذیری گرمایی نسبت به دما در ضخامت‌های مختلف قالب غیریکنواختی در پیشرفت پخت و در نتیجه در خواص فیزیکی و مکانیکی محصول ایجاد می‌کند.

### نتیجه گیری

مدل خودکاتالیزوری در شرایط همدمای ناهمدمای با نتایج آزمایشگاهی حاصل از رئومتری و دستگاه RPA توافق خوبی داشته و به خوبی رفتار پخت آمیزه را بیان می‌کند. تغییرات ظرفیت گرمایی ویژه حین پخت با آزمون DSC بررسی شد و ضریب نفوذ پذیری گرمایی در آمیزه خام با استفاده از ضریب رسانندگی گرمایی و مقدار ظرفیت گرمایی ویژه آمیزه در دماهای مختلف بررسی و مشخص شد که مقدار آن در محدوده دمای شروع تا تکمیل پخت با افزایش دما، افزایش یافته و سبب افزایش سرعت پخت می‌شود. روش اندازه‌گیری مستقیم دما و دستگاه RPA روش مناسبی برای بررسی سینتیک پخت آمیزه SBR در شرایط ناهمدماست.

که  $R = 0.987^3$  است. از جدول ۹ مشاهده می‌شود، با افزایاد دما مقادیر ضریب رسانندگی گرمایی کاهش یافته است که علت اصلی آن، کاهش انتقال گرمایی اخلاق دمای دو صفحه است. نفوذ پذیری گرمایی طبق معادله (۱۷) بیان می‌شود:

$$\alpha = \frac{k}{\rho C_p} \quad (17)$$

دما، ضریب رسانندگی گرمایی، ظرفیت گرمایی ویژه و ضریب نفوذ گرمایی نمونه خام در جدول ۱۰ نشان داده شده است. شکل ۱۷ تغییرات ضریب نفوذ گرمایی آمیزه خام را نسبت به دما نشان می‌دهد. با استفاده از شکل ۱۷ و جدول ۱۰ نتیجه می‌شود که با افزایاد دما ضریب نفوذ گرمایی نمونه در شروع گرمادهی بسیار بالا بوده و با افزایش دما به دلیل افزایش ظرفیت گرمایی ویژه در محدوده دمای  $50^{\circ}\text{C}$  تا  $100^{\circ}\text{C}$  و کاهش ضریب رسانندگی گرمایی نمونه، ابتدا کاهش و مجددًا افزایش می‌یابد. علت اصلی این صعود ضریب نفوذ گرمایی، کاهش گرانروی آمیزه و کاهش ظرفیت گرمایی ویژه آمیزه است. در مرحله بعد، آمیزه انرژی فعال سازی لازم برای شروع پخت را در محدوده دمای  $130^{\circ}\text{C}$  تا  $160^{\circ}\text{C}$  بدست می‌آورد که به دلیل افزایش ظرفیت گرمایی ویژه و کاهش مقدار ضریب رسانندگی گرمایی دومرتبه ضریب نفوذپذیری گرمایی کاهش می‌یابد. در محدوده دمای  $180^{\circ}\text{C}$  تا  $200^{\circ}\text{C}$  به دلیل کاهش ضریب

### مراجع

1. Lopez-Manchado M.A., Arroyo M., Herrero B. and Biagiotti J., Vulcanization Kinetics of Natural Rubber-organoclay Nanocomposites, *J. Appl. Polym. Sci.*, **99**, 1-15, 2003.
2. Henry S. and Hsich Y., Kinetic Model of Cure Reaction and Filler Effect, *J. Appl. Polym. Sci.*, **27**, 3265-3277, 1982.
3. Chan T.W., Shyu G.D. and Isayev A.I., Reduced Time Approach to Curing Kinetics, Part 1: Dynamic Rate and Master Curve from Isothermal Data, *Rubber Chem. Technol.*, **66**, 349-364, 1993.
4. Isayev A.I. and Deng J.S. , Non-isothermal Vulcanization of Rubber Compounds ,*Rubber Chem. Technol.*, **61**, 340-361, 1987.
5. Dick J.S. and Pawlowski T.H., Application for the Curemeter Maximum Cure Rate in Rubber Compound Development Process Control and Cure Kinetic Studies, *Polym. Test.*, **15** , 207-243, 1996.
6. Jansson K. and Flodin P., Vulcanization of Rubber Kinetic Parameters for SBR and Simulation of Vulcanization in a Mold , *J. Appl. Polym. Sci.*, **43**, 1777-1787, 1991.
7. Ding R. and Leonov A.I., A Kinetic Model for Sulfur Accelerated Vulcanization of a Natural Rubber Compound, *J. Appl. Polym. Sci.*, **61**, 455-463, 1996.
8. Toloie S., Differential Scanning Calorimetry and Application in Polymer Analyze, *Iran. J. Polym. Sci. Technol.*, **3**, 258-271, 1991.
9. Sung - Hyo Chough , Dong - Ho chang , Kinetic of Sulfur Vulcanization of NR, BR, SBR and Their Blend Using a Rheometer and DSC, *J. Appl. Polym. Sci.*, **61**, 449-454 , 1996.